

طراحی و ساخت پلاسمید حاوی مبداء همانندسازی میتوکندری و ارزیابی تکثیر آن در رده‌ی سلولی انسان

سپیده امین زاده گوهري^۱ - حسين خان احمد^۲ - مرتضي كريمي پور^۳ - پريچهر يفمايي^۴
سكنينه كريمي زارع^۵ - فاطمه جمشيدى^۶

چکیده

زمینه و هدف: هدف از این پژوهش ساخت پلاسمید با مبداء همانندسازی ژنوم میتوکندری انسان به منظور دستیابی به ناقلی ایمن است که قادر باشد به صورت اپی زومال و به وسیله عناصر ترانس سلول انسان شناسایی و همانندسازی شود. مزیت این ناقل نسبت به ناقلین آدنو ویروسی ماندگاری و نسبت به ناقلین رترو ولتی ویروس عدم وجود در ژنوم سلول میزبان می‌باشد.

روش تحقیق: سه قطعه شامل مبداء‌های همانندسازی رشته‌ی سیک و سنگین ژنوم میتوکندری و ژن gfp با روش PCR تکثیر و در وکتور pTZ57T/A کلون شدن. قطعه ژن hygro از پلاسمید pFBGGT با هضم آنزیمی جداسازی شد. سپس هر چهار قطعه در پلاسمید pBGGT ساپ کلون گردیدند. تمام کلون‌های بینابینی و پلاسمید نهایی با روش PCR، هضم آنزیمی و تعیین توالی بررسی شدند. سلول‌های CHO و HEK293 با سازه نهایی ترانسفکشن شدند. سلول‌های ترانسفکت شده با میکروسکوپ فلورستن به مدت چهل روز به صورت روزانه مشاهده شدند. از سلول‌های باقی مانده، پلاسمید و DNA ژنومیک تخلیص گردید و بر روی آن‌ها PCR های همپوشان به منظور اثبات حلقوی بودن پلاسمید انجام شد.

یافته‌ها: نتایج حاصل از PCR، هضم آنزیمی و تعیین توالی همگی تأیید کننده‌ی صحت انجام ساخت سازه بود. نتایج حاصل از ترانسفکشن سلول‌های HEK293 و CHO نشانگر عدم همانندسازی پلاسمید در سلول‌های فوق بود.

نتیجه‌گیری: با توجه به این که پلاسمید واجد دو مبداء همانندسازی میتوکندری توانست درون سلول‌های انسانی تکثیر شود، به نظر می‌رسد مجبور به فراهم آوری شرایط مشابه همانندسازی ژنوم میتوکندری به منظور همانندسازی ناقل نامبرده در تحقیقات آتی باشیم.

کلید واژه‌ها: ژن درمانی؛ ناقل غیر ویروسی؛ مبداء همانندسازی میتوکندری
افق‌دانش؛ فصلنامه دانشگاه علوم پزشکی و خدمات بهداشتی درمانی گناباد (دوره ۱۵؛ شماره ۴؛ پاییز سال ۱۳۸۸)

دریافت: ۱۳۸۸/۳/۲۰ اصلاح نهایی: ۱۳۸۸/۷/۲۳ پذیرش: ۱۳۸۸/۸/۱۹

-
- ۱- کارشناس ارشد زیست شناسی علوم سلولی و مولکولی، دانشگاه آزاد اسلامی واحد علوم تحقیقات تهران
 - ۲- نویسنده مسؤول؛ Ph.D فرآورده‌های بیولوژیک، انتستیتو پاستور ایران، بخش ب ث آدرس: تهران- خیابان پاستور- پلاک ۶۹- انتستیتو پاستور ایران - بخش پزشکی مولکولی
تلفن: ۰۹۱۳۱۲۱۴۰۳۱ - نمبر: ۰۲۱-۸۸۷۱۸۵۵۷
 - ۳- Ph.D فرآورده‌های بیولوژیک، بخش پزشکی مولکولی، انتستیتو پاستور ایران
 - ۴- Ph.D فیزیولوژی، دانشگاه آزاد اسلامی واحد علوم تحقیقات تهران
 - ۵- کارشناس ارشد زیست شناسی ژنتیک، انتستیتو پاستور ایران، بخش ب ث
 - ۶- کارشناس ارشد زیست شناسی فیزیولوژی جانوری، بخش پزشکی مولکولی، انتستیتو پاستور ایران

مقدمه

در مواردی که ناقل به صورت اپی زومال داخل سلول می‌ماند در طی تقسیمات سلولی به تدریج از بین می‌رود و نیازمند تکرار مجدد روند ژن درمانی برای حصول سطح درمانی مطلوب هستیم. ناقل برای آن که بتواند به طور اپی زومال درون سلول ماندگار بماند بایستی قادر به تکثیر خود باشد. با به کارگیری EBV⁵، مبداء‌های همانندسازی (ORI) ویروس‌هایی چون SV40⁶ و هرپس سیمپلکس ویروس پلاسمید‌های نوترکیبی ساخته شده که دارای قابلیت تکثیر در رده‌های سلولی واجد عناصر ترانس لازم از جمله T آنتی ژن، EBNA1⁷ و Lana⁸ برای همانندسازی این ویروس‌ها می‌باشند (۵). بنابراین پلاسمیدهای واجد این مبداء‌های همانندسازی ویروسی در سلول‌های کشت اولیه پستانداران به علت عدم حضور عناصر ترانس قادر به تکثیر نمی‌باشند. از طرفی عناصر ترانس فوق الذکر اکثرًا باعث ایجاد پاسخ‌های ایمنی و ترانفورمیشن سلول پذیرنده می‌شوند (۶). لذا از این استراتژی برای ژن درمانی نمی‌توان استفاده کرد. پس به منظور تکثیر ناقل درون سلول‌های کشت اولیه انسانی بایستی به دنبال مبداء همانندسازی بود که بتواند به طور اپی زومال و به وسیله عناصر ترانس سلول انسان شناسایی و همانندسازی شوند. ژنوم میتوکندری تنها عنصر ژنتیکی سلول انسان است که به طور اپی زومال در سلول‌های همانندسازی و مانند پلاسمیدهای باکتریایی به طور مستقل از ژنوم هسته تکثیر می‌شوند و نسخه‌های متعدد حلقوی به وجود می‌آورد. میتوکندری انسان واجد دو مبداء همانندسازی رشته سبک (O_L) و سنگین (O_H) است. در منطقه تنظیمی D-LOOP قرار گرفته است. این منطقه‌ی کنترلی واجد عناصر تنظیمی دیگری مانند پروموتورهای رشته نگین HSP⁹، HSP² و پروموتور رشته سبک LSP⁹ نیز است (۷,۸).

با توجه به مجموع مطالب عنوان شده، این تحقیق درصد ساخت پلاسمید حاوی مبداء همانندسازی میتوکندری انسان و بررسی قابلیت همانندسازی آن در رده‌ی سلولی HEK 293¹ و CHO^۲ می‌باشد.

5- Epstein-Barr Virus

6- Simian Virus 40

7- Epstein-Barr Nuclear Antigen

8- Heavy Strand Promoter

9- Light Strand Promoter

با پیشرفت در علم ژنتیک، بیولوژی و پاتوبیولوژی مولکولی به تدریج علت بسیاری از بیماری‌ها در سطح مولکولی شناخته شد. در گام بعد، محققین به فکر ابداع روش‌های ژن درمانی^۱ و بهینه سازی آن به منظور درمان بیماری‌های ژنتیکی افتدند. در ژن درمانی تلاش می‌شود با ارایه‌ی ماده ژنتیکی حاوی ژن درمانگر^۲ به سلول‌های واجد نقص ژنتیک، نقایص آن‌ها برطرف گردد (۱). برای ژن درمانی دو نوع ناقل DNA یکی بر پایه ویروس‌ها و دیگری بر پایه پلاسمیدهای نوترکیب استفاده می‌شوند که هر کدام از آن‌ها دارای مزایا و معایب ذاتی خود می‌باشند (۲). موفقیت ژن درمانی تا حدود بسیار زیادی وابسته به پیشرفت‌های صورت گرفته در زمینه‌ی ناقل‌های ارائه دهنده ژن به سلول‌ها است (۳).

با توجه به کارایی بالای ویروس‌ها برای ارایه‌ی ژن به سلول، محققین به فکر طراحی ناقل‌های ویروسی کارآمد و ایمن برای انتقال ژن به سلول افتدند. در این راستا ناقل‌های ویروسی بر اساس آدنوفیروس، آدنوسوشیتیدویروس، رتروویروس، لنتی ویروس و هرپس ویروس‌ها طراحی و مهندسی شدند و در طی نسل‌های مختلف تکامل یافته‌اند. از معایب ناقل‌های ویروسی می‌توان به پاسخ‌های ناخواسته ایمنی، خصوصاً در کاربرد آدنوفیروس‌ها و دخول تصادفی ژنوم ویروس در ژنوم سلول در مورد رترو و لنتی ویروس‌ها اشاره نمود. این دخول تصادفی می‌تواند منجر به اختلال در ژن‌های مفید از قبیل مهارکننده‌های توموری^۳ و یا فعال سازی انکوژن‌ها^۴ گردد (۴). از طرفی ظرفیت پذیرش ژن درمانگر در ناقل‌های ویروسی محدود می‌باشد. ناقل‌های غیر ویروسی در مقایسه با ناقلین ویروسی پاسخ ایمنی کمتری را برانگیخته و اغلب اوقات به صورت اپی زومال در سلول‌ها باقی می‌مانند. لذا خطرات فعلی کردن انکوژن‌ها یا غیر فعلی کردن ژن‌های مهارکننده‌ی توموری را ندارند. هم‌چنین تهیه و تولید ناقلین غیر ویروسی در مقادیر زیاد نسبت به ناقلین ویروسی آسان‌تر و مقرن‌به صرفه تر می‌باشد (۱,۴).

1- Gene Therapy

2- Gene Therapeutic

3- Tumor Suppressor Genes

4- Oncogene

روش تحقیق

pEGFP-N1 با روش PCR در دستگاه ترموسایکلر (ساخت شرکت Eppendorf - آلمان) تکثیر شدند. سه قطعه O_L و gfp پس از تکثیر بر روی ژل آگارز (ساخت شرکت Cinnagene - ایران) به ترتیب ۲/۵، ۱ و ۱ درصد رنگ آمیزی شده با اتیدیوم برماید به ترتیب در کنار مارکرهای ۱ kb، ۱۰۰ bp و ۱ kb (ساخت شرکت Fermentas لیتوانی) الکتروفورز شدند.

کلونینگ: قطعات مد نظر از روی ژل بریده شد و به وسیله کیت تخلیص DNA از ژل (ساخت شرکت Fermentas - لیتوانی) تخلیص شدند و سپس در وکتور pTZ57T/A (Fermentas) کلون شده و پلاسمیدهای pT-Gfp و pT-oriL و pT-Dloop به دست آمد. قطعات ژنی به ترتیب با هضم آنزیمی توسعه آنزیم های MluI و NheI و GFP برای MluI و BglII محدودالاثر شدند. برای AflII و D-loop جداسازی و در پلاسمید pBGGT ساپ کلون شدند. ژن مقاومت به هیگرومایسین نیز توسعه آنزیمی دو آنزیم محدودالاثر BglII و MluI از پلاسمید pFBGGT جداسازی شد (۱۴) و در pBGGT ساپ کلون گردید (شکل ۱).

طراحی پلاسمید: در طراحی اولیه پلاسمید pBGGT (DQ384617.1) به علت آن که واجد جایگاه های برش آنزیمی^۳ مناسب بود، به عنوان ناقل پایه به منظور دخول چهار قطعه ژنی شامل O_L، D-loop، کاست بیانی پروتئین سبز فلورسنت (gfp)^۴ به عنوان ژن گزارشگر و ژن مقاومت به آنتی بیوتیک یوکاربیوتی هیگرومایسین (hygro) به عنوان شاخص انتخاب گر انتخاب شد.

وضعیت قطعات فوق از نظر آنزیم های برش دهنده و غیر برش دهنده با نرم افزار Gene runner بررسی شدند.

طراحی پرایمر و تکثیر قطعات به وسیله PCR: DNA ژنومیک انسان با کیت تخلیص (ساخت شرکت Qiagen آلمان) از گلبول های سفید خون محیطی انسان تخلیص شد. پرایمرهای مورد نیاز با جایگاه برش آنزیمی مناسب در انتهای^۵ آن ها طراحی و سفارش ساخت به شرکت تک کپنهاک دانمارک داده شد (جدول ۱).

دو قطعه O_L به وسیله آنزیم PFU (ساخت شرکت Fermentas - لیتوانی) از روی DNA ژنومیک انسان و قطعه gfp توسعه آنزیم PFU از روی پلاسمید

جدول ۱: مشخصات پرایمرهای مورد نیاز

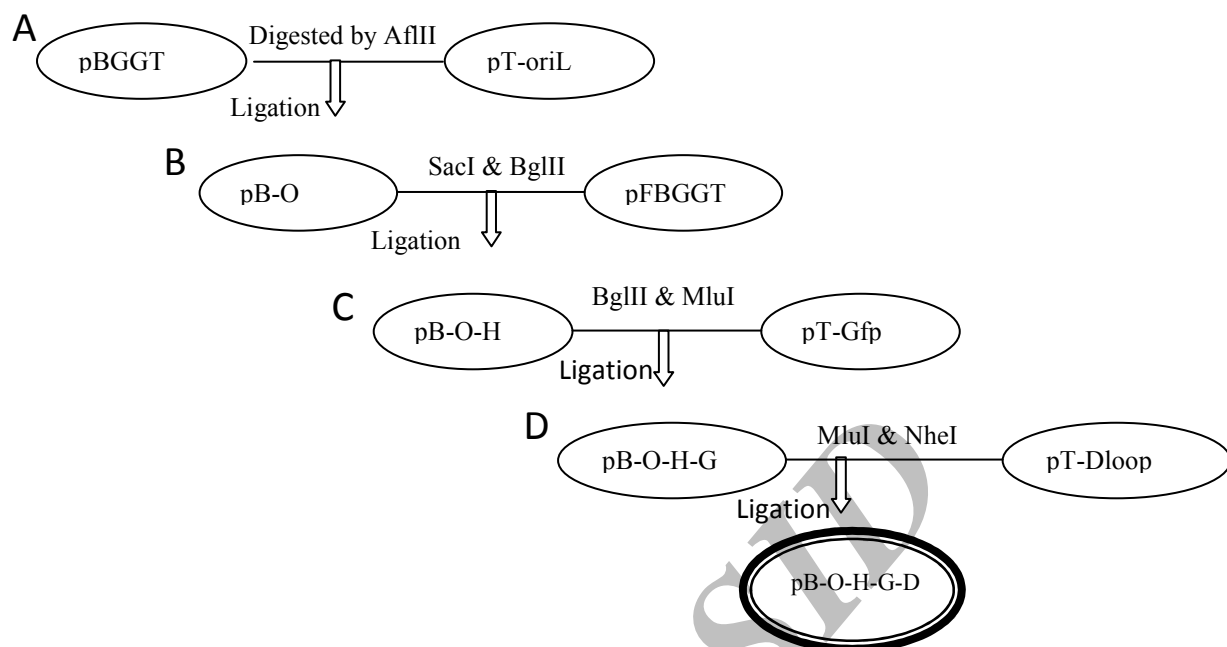
نام پرایمر	توالی	طول قطعه	سایت آنزیمی در انتهای ^۵
pF – Dloop	5' GCTAGCACTATTCTCTGTTCTTCATGGG 3'	۱۱۸. bp	NheI
pR – Dloop	5' ACGCGTCAGTGTATTGCTTGAGGAGG 3'		MluI
pF – O _L	5' CTTAAGCCCACAAACACTTAGTTAACAG 3'	۱۸۰ bp	AflII
pR – O _L	5' CTTAAGCAGCTCCGAGGTGATTTTC 3'		AflII
pF – Gfp	5' ACGCGTTCTGTGGATAACCGTATTACC 3'	۱۶۸. bp	MluI
pR – Gfp	5' AGATCTTAAGATAACATTGATGAGTTGGAC 3'		BglII

1- Human Embryonic kidney 293

2- Chinese Hamster Ovary

3- Multiple Cloning Sites

4- Green Fluorescent Protein



شکل ۱: (A) مراحل ساخت pBGGT با آنزیم AfII هضم و با اتصال قطعه oriL در pBGGT pEU :pT-oriL حاصل شد. (B) pB-O و pFBGGT با آنزیم های SacI و BglII هضم و با اتصال قطعه Hygro در pB-O-H حاصل شد. (C) pB-O-H و pT-Gfp با آنزیم های BglII و MluI هضم و با اتصال قطعه Gfp در pB-O-H-G pB-O-H-G حاصل شد. (D) pB-O-H-G و pT-Dloop با آنزیم های MluI و NheI هضم و با اتصال قطعه D-loop در pB-O-H-G-D pB-O-H-G-D، پلاسمید نهایی pEU ساخته شد.

ترانسفکشن سلول های CHO 293T و HEK 293: سلول های CHO 293 (بانک سلولی انستیتو پاستور ایران) و RPMI 1640 (بانک سلولی انستیتو پاستور ایران) در محیط ۱۰٪ سرمه جنین گوساله (۱۰٪، گلوتامین ۲۰ میلی مولار در انکوباتور مروطوب با ۵ درصد دی اکسید کربن و حرارت ۳۷ درجه سانتی گراد کشت داده شدند. یک روز قبل از ترانسفکشن تعداد 2×10^6 سلول CHO 293 و HEK 293 در پلیت ۱۰۰ میلی متری کشت داده شد. سلول ها انکوبه شدند تا تراکم سلول در سطح به ۷۰ تا ۸۰ درصد یعنی مقدار مناسب برای ترانسفکشن برسد. قبل از ترانسفکشن محیط کشت سلول ها با ۷ میلی لیتر محیط کشت تازه تعویض شد. سلول ها با ۴ میکروگرم DNA (سازه ژنی) و با استفاده از کیت پلی فکت (ساخت شرکت Qiagen - آلمان) بر اساس دستورالعمل شرکت سازنده ترانسفکت شدند. بررسی دخول سازه ی نهایی و ماندگاری آن درون سلول های CHO 293 و HEK 293 ۲۴ ساعت پس از ترانسفکشن

همه ی پلاسمیدها با روش ترانسفورمیشن در باکتری E.coli Top 10 سویه (Top 10 E.coli) و بر اساس دستورالعمل استاندارد مربوطه تکثیر شدند (۱۵). برای رشد باکتری ها از محیط LB-Borth (شرکت Merck آلمان) حاوی ۱۰۰ میکروگرم بر میلی لیتر آمپی سیلین استفاده شد. تأیید ساب کلون ها: هر مرحله ی ساب کلونینگ از طریق کلونی PCR، هضم آنزیمی و تعیین توالی به روش ختم زنجیره به صورت تجاری (شرکت ماکروژن - کره) با پرایمرهای M13 universal و یا پرایمرهای قطعات کلون شده، تأیید شدند.

تأیید صحت قرارگیری دو قطعه O_L و $D\text{-loop}$ به یکدیگر: بعد از کلون نمودن قطعه O_L درون پلاسمید و تأیید دخول O_L درون آن به وسیله کلونی PCR و هضم آنزیمی به منظور بررسی قرار گیری O_L بر روی رشته آنتی سنس، پلاسمید با آغاز گر FM13 تعیین توالی شد (شکل ۷).

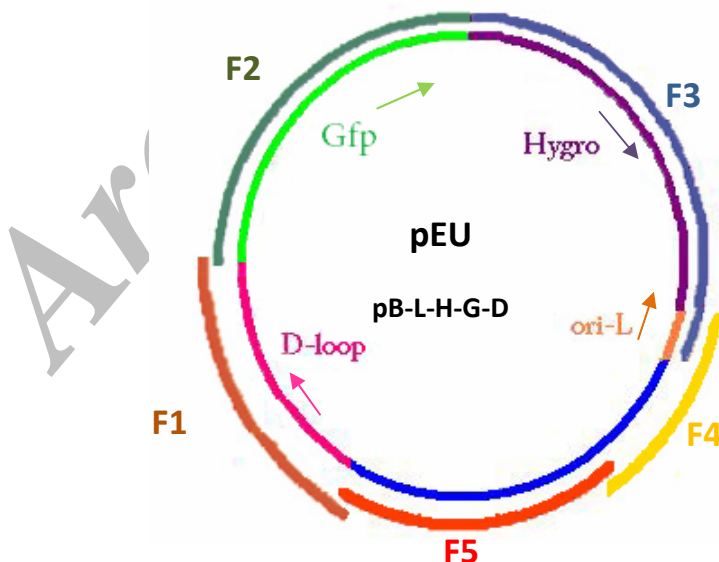
اصلی برای تخلیص پلاسمید از سلول های پستانداران، استفاده از شیب چگالی کلرید سزیوم است (۲۴). اما به علت عدم امکان استفاده از این تکنیک، تخلیص پلاسمید بر پایه ای روش لیز قلیایی که قبلاً در آزمایشگاه بر روی سلول های T293 حاوی پلاسمید pcDNA3.1Hygro بهینه سازی شده بود، انجام شد. بر روی محصول استخراج پلاسمید پنج PCR گذاشته شد. پنج PCR همپوشان بر روی پلاسمید نهایی pEU استخراج شده از سلول های باکتریایی E.coli به عنوان کنترل مثبت انجام شده بود. پرایمیر های جهت این PCR ها به گونه ای طراحی شدند که محصولات آن ها در دو انتهای' ۳ و' ۵ همپوشانی داشتند (جدول ۲، شکل ۲).

محیط کشت تعویض شد و ۴۸ ساعت بعد از ترانسفکشن سلول ها تحت تیمار آنتی بیوتیک هیگرومایسین (۱۵۰ میکروگرم آنتی بیوتیک هیگرومایسین بر میلی لیتر) قرار گرفتند. سلول های پذیرنده پلاسمید تحت تیمار هیگرومایسین زنده ماندند.

سلول ها به مدت ۴۰ روز برای بررسی بیان زن گزارشگر gfp توسط میکروسکوپ فلورسنت تحت بررسی قرار گرفتند و تراکم سلول های سبز رنگ حاصل از پروتئین GFP و پایداری رنگ سبز فلورسنت روزانه بررسی و محیط کشت سلول ها هر سه روز یک بار تعویض شدند. از سلول های اولین ترانسفکشن سلول های HEK 293 تخلیص پلاسمید انجام شد. روش

جدول ۲: PCR های همپوشان بر روی پلاسمید نهایی

نام قطعات	طول قطعه	میزان همپوشانی
F1	۱۱۸۰ bp	این قطعه به اندازه ای ۶ نوکلئوتید از انتهای' ۳ خود با انتهای' ۵ قطعه F2 و به اندازه ای ۵ قطعه F2 باز از انتهای' ۵ خود با انتهای' ۳ قطعه F5 همپوشانی دارد.
F2	۱۷۶۳ bp	این قطعه به اندازه ای ۶ نوکلئوتید از انتهای' ۵ خود با انتهای' ۳ نوکلئوتید از انتهای' ۳ خود با انتهای' ۵ قطعه F3 همپوشانی دارد.
F3	۱۹۳۲ bp	شامل دو قطعه ای F3 بدون هیچ فاصله ای پشت سر قطعه ای F2 قرار گرفته است.
F4	۱۳۹۸ bp	این قطعه شامل قطعه ای O _L و قطعه ای ۱۲۲۹ جفت نوکلئوتید از پلاسمید پایه است. در انتهای' ۳ خود با ۸ جفت باز انتهای' ۵ قطعه F5 همپوشانی دارد.
F5	۱۴۹۸ bp	این قطعه در انتهای' ۵ خود با ۸ جفت باز انتهای' ۳ قطعه ای F4 و در انتهای' ۳ خود با ۲۲ جفت باز انتهای' ۵ قطعه F1 همپوشانی دارد.



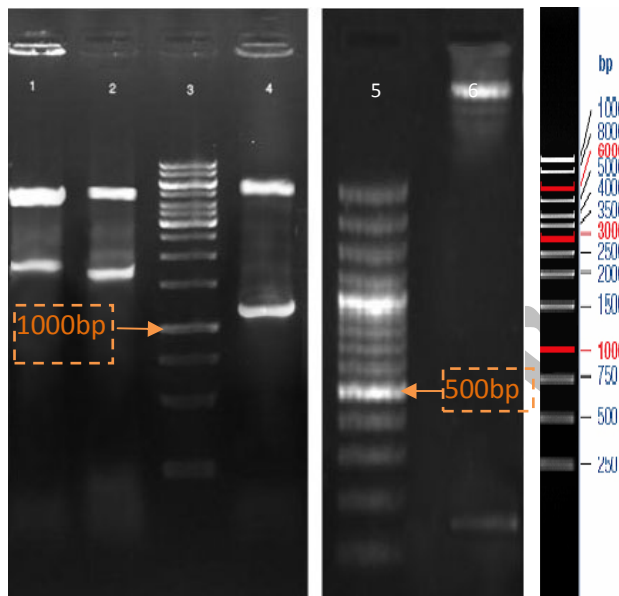
شکل ۲: ترتیب قرارگیری قطعات بر روی پلاسمید نهایی pEU و قطعات حاصل از پنج PCR همپوشان: قطعات Dloop-Gfp-Hygro بر روی رشته سنس پلاسمید و قطعه oriL بر روی رشته آنتی سنس قرار گرفته اند.

D-loop در رشته‌ی مقابل واقع شد (شکل ۲). نتایج PCR و کلونینگ: سه قطعه O_L , D-loop و PCR باست بیانی gfp به وسیله PCR تکثیر شدند. هر سه قطعه در وکتور کلونینگ pTZ57T/A کلون شدند و با هضم آنزیمی، PCR و تعیین توالی تأیید شدند. قطعه hygro با پرموتر و توالی خاتمه دهنده یوکاریوتی به وسیله هضم آنزیمی SacI و BglIII از پلاسمید pFBGGT جداسازی شد. هر چهار قطعه در پلاسمید pBGGT در کنار هم ساپ کلون شدند. صحت و درستی تمام مراحل ساپ کلونینگ با هضم آنزیمی PCR و تعیین توالی تأیید شدند. در آخر نیز سازه نهایی pEU با PCR (شکل ۳) و هضم آنزیمی (شکل ۴) تأیید شد و در دو جهت تعیین توالی گردید.

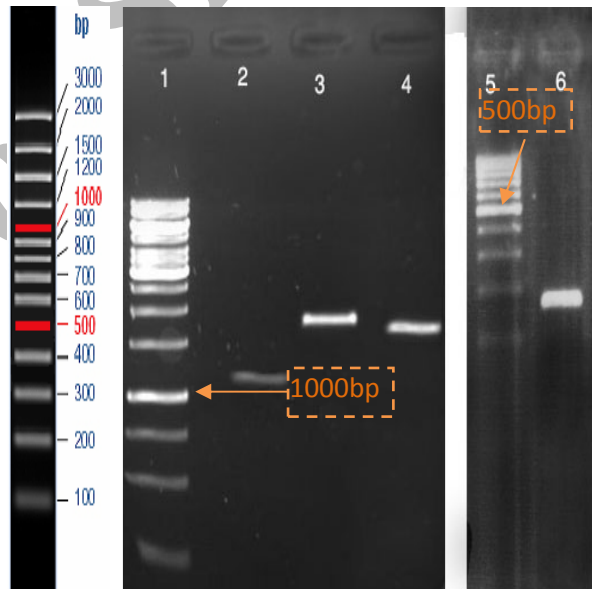
مجموع PCR های انجام شده طول کل پلاسمید را تکثیر می کردند. سپس از سلول های HEK 293 حاصل از اولین ترانسفکشن DNA ژنومیک به وسیله ی کیت تخلیص (DNA) از شرکت Qiagen (آلمان) تخلیص شد و بر روی آن پنج PCR همپوشان گذاشته شد. هم چین پنج PCR همپوشان بر روی جسم کامل سلول های سیز باقی مانده پس از ۴۰ روز انتخاب به صورت کلونی PCR گذاشته شد.

یافته ها

نتایج طراحی: پلاسمید به گونه ای طراحی شد که قطعه D-loop و gfp بر روی hygro و O_L رشته سنس پلاسمید قرار گرفتند و قطعه O_L در فاصله‌ی دو سوم قطعه



شکل ۴: هضم آنزیمی pEU با آنزیم های محدود الاتر: ۱- هضم hygro (1750 bp) با آنزیم BglIII و SacI - قطعه gfp (1680 bp) - هضم با آنزیم MluI و BglIII - قطعه oriL (180 bp) ۲- هضم با آنزیم MluI و NheI - قطعه ۳- مارکر ۱kb ۴- هضم با آنزیم MluI و NheI - قطعه D-loop (1180 bp) ۵- مارکر 100 bp ۶- هضم با آنزیم AflII

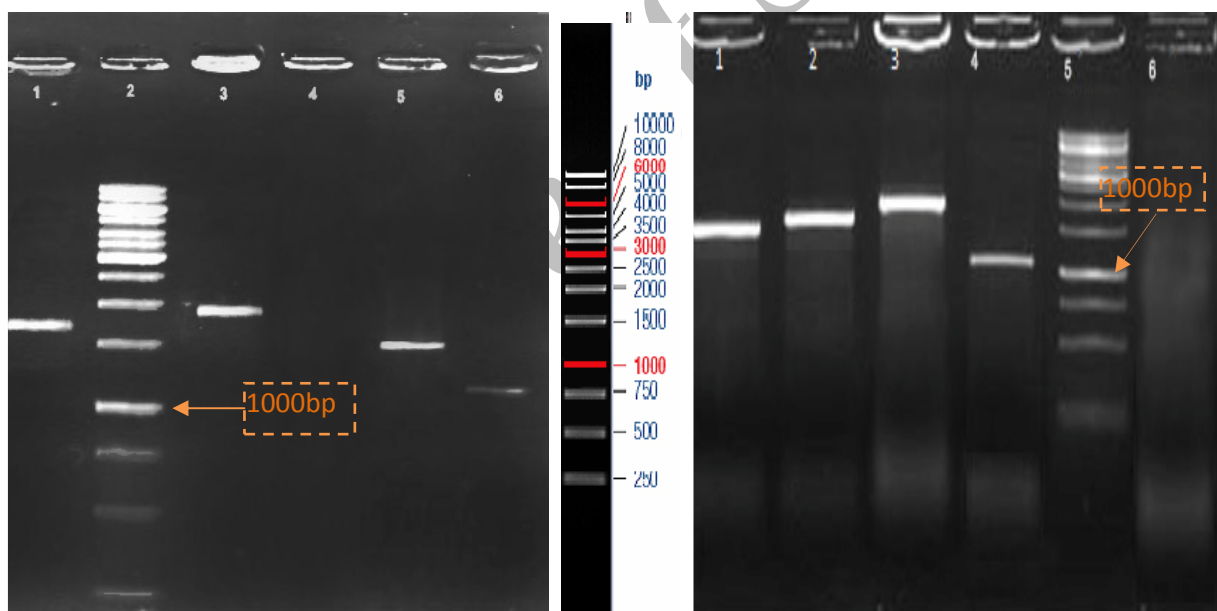


شکل ۳: کلونی PCR بر روی pEU ۱- مارک ۲- 1kb قطعه ۳- D-loop (1180 bp) ۴- قطعه gfp (1680 bp) ۵- قطعه hygro (1750 bp) ۶- مارک oriL (180 bp) ۷- قطعه ۸- 100 bp

بر روی ژل آگارز ۱ درصد رنگ آمیزی شده با اتیدیوم بر ماید الکتروفوروز شد که در مقابل اشعه γ ماورای بنسن تنها اسمیر کم رنگ مشاهده شد. بر روی محصول تخلیص پلاسمید پنج PCR همپوشان گذاشته شد که هیچ کدام از آن‌ها محصولی نداشتند. اما پنج PCR همپوشان که بر روی پلاسمید E.coli pEU استخراج شده از سلول‌های باکتریایی HEK 293 انجام شده بود تمامی مثبت بود. از سلول‌های PCR نوترکیب تخلیص DNA انجام شد و بر روی آن‌ها پنج قطعه F4 که همپوشان گذاشته شد. تمامی قطعات به جز قطعه F4 که قسمتی از اسکلت بندی pEU می‌باشد، تکثیر شدند (شکل ۵). هم چنین پنج PCR همپوشان بر روی جمعیت کوچکی از سلول‌های HEK 293 نوترکیب به صورت کلونی PCR گذاشته شد. مجدداً تمامی قطعات به جز قطعه F4 تکثیر شدند (شکل ۵).

تأیید صحت قرارگیری دو قطعه O_L و $D\text{-loop}$ نسبت به یکدیگر: نتیجه تعیین توالی توسط آغازگر FM13 نشان داد قطعه O_L بر روی رشته آنتی سنس قرار گرفته است. ترانسفکشن سلول‌های CHO و HEK 293 در ترانسفکشن سلول‌های HEK و CHO پس از ۴۸ ساعت حدود ۸۰ درصد سلول‌ها سبز شدند که نشان دهنده ای ورود پلاسمید به درون سلول‌ها بود.

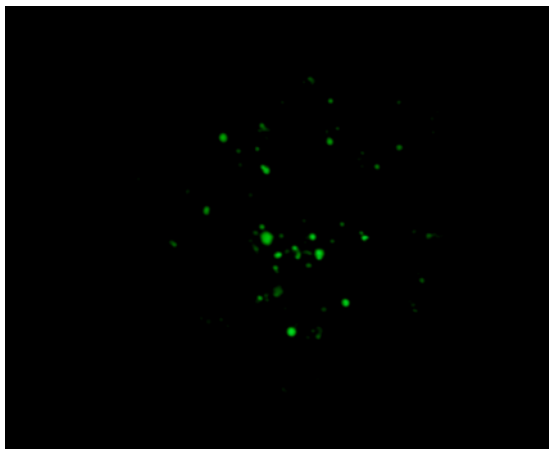
تأیید دخول و ماندگاری سازه O_L در ردیف سلولی pEU در سلول‌های HEK 293 رنگ سبز فلورستن به مدت بیش از ۱ ماه پایدار بود. بنابراین برای تأیید این که آیا پلاسمید در سلول به صورت اپی زومال باقی مانده و در حال تکثیر است یا درون ژنوم سلول‌ها داخل شده است از سلول‌های HEK 293 نوترکیب، تخلیص پلاسمید انجام شد. حاصل تخلیص



شکل ۵: PCR های همپوشان که مجموعاً کل طول پلاسمید سنتز شده را تکثیر می‌کردند.

الف) PCR های همپوشان بر روی DNA استخراج شده از سلول‌های HEK 293 اولین ترانسفکت و عدم تکثیر قطعه F4
ب) کلونی PCR های همپوشان بر روی جمعیتی از سلول‌های HEK 293 اولین ترانسفکت و عدم تکثیر قطعه F4
۱- قطعه F2 (1763 bp) ۲- مارکر 1kb ۳- قطعه F3 (1900 bp) ۴- قطعه F4 (1398 bp) (عدم تکثیر و عدم مشاهده باند) ۵- قطعه F5 (1180 bp) ۶- قطعه F1 (1498 bp)
۱- قطعه F2 (1498 bp) ۲- قطعه F5 (1763 bp) ۳- قطعه F1 (1900 bp) ۴- قطعه F3 (1180 bp) ۵- مارکر 1kb ۶- قطعه F4 (1398 bp) (عدم تکثیر و عدم مشاهده باند).

۲۰ روز به شدت کاهش یافت (شکل ۶).



ب) سلول های تواریخت شده پس از گذشت ۲۰ روز

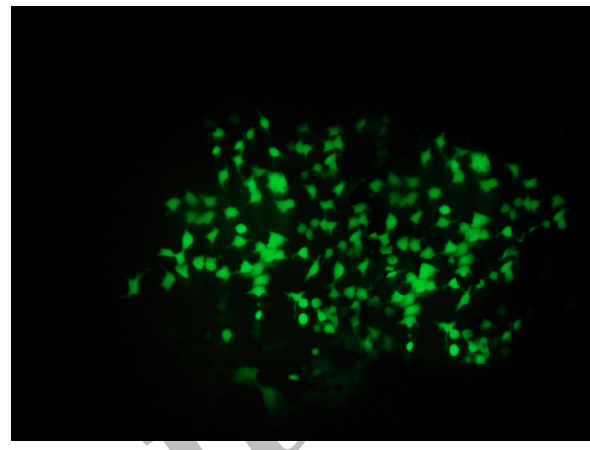
شکل ۶: ترانسفکشن پلاسمید برای سری دوم در سلول های HEK 293

بودند (۹) و یا در سال ۱۹۹۳ فراکازوسکا قطعه کوچکی از ژنوم میتوکندری *Papaver somniferum* را در پلاسمید کلون نمود. این پلاسمید می توانست در سلول های مخمر و قارچ هایی مانند *Kluyveromyces lactis* به طور مستقل همانندسازی نماید (۱۳).

در طراحی سازه، موقعیت قرارگیری قطعات O_L و D -loop به گونه ای طراحی شد که مشابه موقعیت قرارگیری شان درون ژنوم میتوکندری باشد. در ژنوم میتوکندری منطقه کنترلی D -loop بر روی رشته ای سنگین میتوکندری قرار گرفته و در رشته ای مقابل به فاصله ای دو سوم اندازه طول ژنوم میتوکندری دورتر واقع شده است (۹، ۱۰). با توجه به این که قطعه ای O_L در هر دو انتهای $3'$ و $5'$ دارای سایت آنزیمی برای *AflIII* بود، می توانست در هر دو رشته سنss و آنتی سنss قرار گیرد. بنابراین ابتدا O_L در پلاسمید *pBGGT* ساب کلون شد و پلاسمید *pBGGT-O_L* تعیین توالی گردید تا مشخص شود O_L بر روی رشته آنتی سنss قرار گرفته باشد. سپس سه قطعه دیگر در مراحل بعدی در پلاسمید *pBGGT-O_L* که قطعه O_L در آن روی رشته آنتی سنss قرار گرفته است، ساب کلون شدند.

در طراحی سازه، کل منطقه ای تنظیمی D -loop که واحد O_H است انتخاب شد. زیرا این منطقه واحد پروموتور

دو بار دیگر pEU در سلول های HEK 293 ترانسفکت شد. در هر دو بار تعداد سلول های سبز رنگ پس از گذشت



الف) سلول های HEK 293 تواریخت شده در هفته نخست

بحث

یکی از مهم ترین عوامل موققیت ژن درمانی معطوف به پیشرفت های انجام شده در زمینه ای ناقل ها و کفايت آن ها در تحويل ژن به درون سلول با حداقل سمیت و اثرات جانبی روی ژنوم است. اگرچه ناقلین ویروسی کارایی خوبی در انتقال ژن به درون سلول دارند اما نگرانی های مربوط به اینمنی استفاده از آن ها برای انسان، باعث می شود مقوله ارایه ای ژن از طریق سیستم های انتقال ناقلین غیر ویروسی حایز اهمیت شود (۱۶). یکی از مشکلات ناقلین غیر ویروسی عدم ماندگاری آن ها درون سلول های انسان است (۵). هدف از این مطالعه ساخت سازه ای جدید و کارآمد با دو مبداء همانندسازی ژنوم میتوکندری انسان به منظور توانایی تکثیر و ماندگاری ناقل درون سلول های انسانی می باشد. شایان ذکر است برخی تحقیقات که از سال ۱۹۸۱ آغاز شدند به بررسی توانایی همانندسازی و ماندگاری پلاسمیدهای واحد مبداء های همانندسازی میتوکندری موجوداتی هم چون گزنوپوس، مخمر و قارچ در یوکاریوت های پستی مانند مخمر و قارچ ها پرداخته اند (۹-۱۳). برای مثال در سال ۱۹۸۱ زاکیان و همکاران، با کلون نمودن مبداء های همانندسازی میتوکندری گزنوپوس در پلاسمید، ناقلی را ساختند که قادر به تکثیر و پایداری به مقدار زیاد درون سلول های مخمر

به منظور اطمینان، آزمایش های ترانسفکشن سلول HEK 293 با پلاسمید pEU دو بار دیگر تکرار شد که در هر دو بار رنگ سبز فلورسنت پس از ۲۰ روز به علت عدم تکثیر پلاسمید pEU p دارای ژن gfp شدیداً کاهش یافت. از مجموع نتایج حاصل شده به این مطلب می توان رسید که پلاسمید حاوی دو مبداء همانندسازی رشته‌ی سبک و سنگین میتوکندری نتوانسته درون سلول های انسانی همانندسازی شود. از آنجایی که بقای سلول های سبز رنگ منوط به تکثیر پلاسمید pEU است، پس برای این منظور باید به دنبال فراهم آوری شرایط و عناصر ترانس مورد نیاز برای تکثیر پلاسمید بود.

اگرچه تحقیقات صورت گرفته بر روی پلاسمیدهای واحد مبداء های همانندسازی ژنوم میتوکندری موجوداتی مانند مخمر، گزنوپوس و یا قارچ به ترتیب برای دو مورد اول در سلول مخمر و مورد سوم در سلول قارچ موفقیت آمیز بوده، اما شاید علت موفقیت تحقیقات فوق الذکر را بتوان به علت شباهت ساختار ORI ژنوم مخمر و قارچ با ژنوم میتوکندری دانست. مبداء های همانندسازی ژنوم یوکاریوت های پست هم چون مخمرها و پروتوبوآها، ژنوم میتوکندری و کلروپلاست، پلاسمیدهای ژنوم باکتریوفاژها و ویروس حیوانات در دسته‌ی مبداء های همانندسازی ساده با ساختار و توالی مشخص جای دارند. در حالی که مبداء های همانندسازی ژنوم سلول های انسان در دسته مبداء های همانندسازی پیچیده قرار دارد که برخلاف مبداء های همانندسازی ساده دارای ساختار و توالی مشخص نیستند (۱۷). آغاز همانندسازی از مبداء های همانندسازی نیازمند برهمکنش توالی های ORI و عناصر ترانس است. لذا احتمالاً به علت تفاوت ساختاری مبداء های همانندسازی ژنوم انسان با مبداء همانندسازی ژنوم میتوکندری انسانی عناصر ترانس هسته نتوانسته اند O_H و O_L را شناسایی کنند. حال این سؤال مطرح می شود که از بین فاكتورهای ترانس میتوکندریایی کدام یک برای آغاز همانندسازی پلاسمید از O_H و O_L ضروری هستند؟ فاكتورهای دخیل در همانندسازی ژنوم میتوکندری توسط ژنوم هسته کد می شوند. این عناصر شامل DNA پلیمراز، هلیکازهای

رشته سبک نیز است که پرایمر برای آغاز همانندسازی از O_H از آنجا رونویسی می شود.

با علم به این که متفاوت بودن مبداء های همانندسازی میتوکندری انسان با CHO احتمالاً سبب عدم همانندسازی pEU در سلول های CHO می گردد، سلول های CHO به عنوان کنترل از نظر ماندگاری موقت pEU در آن ها ترانسفکت شدند. رنگ سبز فلورسنت در این سلول ها صرفاً نتیجه‌ی بیان موقت gfp است که پس از گذشت ۲۰ روز رنگ سبز به شدت کاهش یافت.

اگرچه بعد از اولین ترانسفکشن سلول های HEK 293 رنگ سبز فلورسنت برای مدت بیش از یک ماه پایدار بود اما این شک را ایجاد نمود که شاید علت پایداری بیان gfp شکست پلاسمید و دخول پلاسمید شکسته شده درون ژنوم سلول میزبان باشد. بنابراین با تخلیص پلاسمید و انجام PCR های همپوشان بر روی محصول تخلیص پلاسمید و DNA ژنومیک و هم چنین کلونی PCR بر روی سلول های کامل باقی مانده، حلقوی بودن پلاسمید بررسی شد. علت گذاشتن PCR های همپوشان اثبات حلقوی بودن پلاسمید در صورت وجود می باشد. برای این کار می توان از Long PCR و یا Long Inverse PCR استفاده نمود ولی به علت بهینه نبودن شرایط برای Long PCR و Long Inverse PCR ترجیح داده شد اثبات حلقوی بودن با قطعات PCR همپوشان که تمامی طول پلاسمید را در صورت حلقوی بودن تکثیر می نماید استفاده شود. علت انجام پنج PCR بر روی پلاسمید های حلقوی pEU استخراج شده از سلول-های E.coli جهت کنترل عملکرد صحیح پنج PCR همپوشان بود. با توجه به این که بعد از اولین ترانسفکشن سلول های HEK 293 پلاسمیدی تخلیص نشد در نتیجه تمامی PCR های همپوشان بر روی محصول تخلیص پلاسمید فوق نیز منفی بود. و از طرفی پنج PCR همپوشان بر روی DNA ژنومیک و جسم کامل سلول های HEK 293 نوترکیب همگی به غیر از قطعه F4 مثبت بودند (شکل ۵). بنابراین می توان به این نتیجه رسید که پلاسمید در جایی در قطعه F4 شکسته و پلاسمید شکسته شده وارد ژنوم سلول میزبان گردیده است که در نتیجه ژن gfp به طور طولانی مدت و پایدار بیان می شود.

هليکازی است (۱۷). بنابراین شايد هليکاز میتوکندریایی فاکتور ترانس لازم برای همانندسازی پلاسمید باشد. اگرچه برای فاکتور ترانس EBNAl که برای همانندسازی پلاسمید حاوی مبداء همانندسازی ویروس EBV لازم است؛ فعالیت هليکازی مشاهده نشده است (۱۷).

نتیجه گیری

مهم ترین مطالبی که می تواند جهت گیری ما را در مشخص نمودن فاکتورهای ترانس برای همانندسازی این پلاسمید نوترکیب واحد O_H و O_L راهبر باشد تحقیقاتی است که در سال های ۲۰۰۴ و ۲۰۰۸ در آزمایشگاه فالکنبرگ انجام شده است. محققان این گروه در پی بررسی مکانیسم و فاکتورهای دخیل در همانندسازی میتوکندری هستند. در آخرين یافته های آن ها مشخص شده است که یک مبنی رپلیزوم حاوی مبداء همانندسازی میتوکندریایی قادر است با چهار فاکتور DNA پلیمراز، SSBP، هليکاز و RNA پلیمراز میتوکندریایی در شرایط *in vitro* همانندسازی نماید (۲۰,۲۳). با توجه به یافته ها پیشنهاد می گردد با کلون نمودن ابتدا هليکاز میتوکندریایی، امکان همانندسازی پلاسمید بررسی گردد و در صورت منفی بودن جواب با کلون نمودن سه فاکتور دیگر آزمایش ها تکرار شود.

تشکر و قدردانی

این طرح در بخش پژوهشی مولکولی انسٹیتو پاستور ایران انجام شده است لذا نویسندها این مقاله از کلیه همکاران بخش پژوهشی مولکولی انسٹیتو پاستور ایران کمال قدردانی و تشکر را دارند.

RNA میتوکندریایی، پروتئین SSB میتوکندریایی، آنزیم پلیمراز میتوکندریایی، DNA لیگاز، DNA MRP، RNase II، اندونوکلئاز G، mtTFB2، mtTFB1 و mtTFA، دو فاکتور رونویسی ORE متصل می شود (۱۰,۱۷). پروتئین RNase MRP مسؤول پیرایش پرایمر RNA ای شکل گرفته در محل D-loop ژنوم میتوکندری و یک RNase MRP ریبونوکلئوپروتئین است (۷)، با توجه به این که ۵/۸ S rRNA در هستک نیز یافت می شود و در بالغ شدن نقش دارد (۷,۱۸) و عناصر ریبونوکلئاز H، توبوایزومرازهای I و II DNA لیگاز میتوکندریایی مشابه همتاها هسته ای شان هستند (۱۹). بنابراین به نظر می رسد حضور این فاکتور برای همانندسازی پلاسمید واحد O_H و O_L ضروری نباشد. از طرف دیگر با توجه به این که ساختار مبداء های همانندسازی ژنوم میتوکندری مشابه ژنوم ویروس ها است (۱۷) شايد نگاهی به پلاسمید های حاوی ORI های ژنوم ویروس های SV40، EBV و هرپس سیمپلکس نیز بتواند راهگشا باشد. پلاسمید حاوی SV40 نیازمند فاکتور ترانس T آنتی ژن ویروسی است تا بتواند توسط ماشین همانندسازی در هسته ی سلول انسان همانندسازی شود (۳).

T آنتی ژن یک هليکاز هگزامری است که دو رشته ی DNA را در محل مبداء همانندسازی SV40 باز می کند (۲۱,۲۲). آغاز همانندسازی از مبداء همانندسازی هرپس سیمپلکس ویروس oriS نیز نیازمند حضور پروتئین UL9 است. این پروتئین نیز همانند T آنتی ژن دارای فعالیت

References:

- 1- Emery David W. Gene therapy for genetic diseases: On the horizon Clinical and Applied Immunology Reviews 2001; 4: 411-422.
- 2- Soubrier F, Cameron B, Manse B, Somarriba S, Dubertret C, Jaslin G, Jung G, Le Caer G, Dang D, Mouvault JM, Scherman D, Mayaux JF, Crouzet J. A new design of plasmid vectors for nonviral gene therapy. Gene Therapy 1999; 6: 1482-1488.

- 3- Niidome T, Huang L. Gene Therapy Progress and Prospects: Nonviral vectors Gene Therapy 2002; 9: 1647-1652.
- 4- Ulrich Reinhart Goessler, Katrin Riedel, Karl Qrmann, Frank Riedel. Perspectives of gene therapy in stem cell tissue engineering. Cells Tissues Organs 2006; 183: 169-179.
- 5- Lippa HJ, Jenke A.C.W, Nehlsn K, Scintieia M.F, Stehlea I.M, Bode J. Chromosome-based vectors for gene therapy. Gene 2003; 304: 23-33.
- 6- Abdollah B, Sachs L, Demeneix BA. Non-viral gene transfer: applications in developmental biology and gene therapy. Biol Cell 1995; 85: 1-7.
- 7- Fernández-Silva Patricio, Enriquez José A. Replication and transcription of mammalian mitochondrial DNA. Exp Physiol, 2003; 88: 41-56.
- 8- Maria Falkenberg, Nils-Goran Larsson, Claes M. Gustafsson. DNA replication and transcription in mammalian mitochondria. Annu. Rev. Biochem 2007; 76: 679-99.
- 9- Virginia A. Zakian. Origin of replication from *Xenopus laevis* mitochondrial DNA promotes high-frequency transformation of yeast. Proc Natl Acad Sci USA 1981; 78(5): 3128-3132.
- 10- Tikhomirova, Kryukov, Strizhov, Bayev. mtDNA sequences of *Candida utilis* capable of supporting autonomous replication of plasmids in *Saccharomyces cerevisiae*. Molecular and General Genetics MGG 1982; 189: 479-484.
- 11- Blanc H. Two modules from the hypersuppressive rho- mitochondrial DNA are required for plasmid replication in yeast. Gene 1984; 30(1-3): 47-61.
- 12- Delouya and Nobrega. Mapping of the ARS-like activity and transcription initiation sites in non-canonical yeast mitochondrial ori 6 regions. Yeast (Chichester, England), 1991; 7(1): 51-60.
- 13- Farkasovská J. Sequence analysis of a *Papaver somniferum* L. mitochondrial DNA fragment promoting autonomous plasmid replication in *Saccharomyces cerevisiae* and *Kluyveromyces lactis*. Current Genetic 1993; 24(4): 366-7.
- 14- Khanahmad H, Noori Daloii MR, Shokrgozar MA, Azadmanesh K, Niavarani AR, Karimi M, Rabbani B, Khalili M, Bagheri R, Maryami F, Zeinali S. A novel single step double positive double negative selection strategy for beta-globin gene replacement. Biochem Biophys Res Commun 2006; 23: 345(1).
- 15- Sambrook D, Russell. Molecular cloning. New York: CSHL Press, 2001.
- 16- S Li and L, Huang. Nonviral gene therapy: promises and challenges. Gene Therapy 2000; 7: 31-34.
- 17- Melvin L. DePamphilis. Origins of DNA replication in metazoan chromosomes. The journal of biochemistry Issue of January 1993; 268 (1): 1-4.
- 18- Falkenberg Maria, Oran L, Nils-G, Gustafsson Claes M. DNA replication and transcription in mammalian mitochondria. Annu. Rev. Biochem 2007; 76: 679-99.
- 19- Lecrenier Nicolas, Foury Francoise. New features of mitochondrial DNA replication system in yeast and man. Gene 2000; 246: 37-48.
- 20- Sjoerd Wanrooij, Javier Miralles Fuste, Geraldine Farge, Yonghong Shi, Claes M. Gustafsson, Falkenberg M. Human mitochondrial RNA polymerase primes lagging-strand DNA synthesis in vitro. PNAS 2008; 105 (32).

- 21- Gomez-Lorenzo M.G. Valle M. Donate L. E. Gruss C. Bárcena M. Sorzano C. O. S. Radermacher M. Frank J. Carazo J. M. Structural studies of SV40 larg t-antigen on the origin of replication. CAM Grant 2000; 8(1).
- 22- Sumitra Ded, Sahnli tsui, Andrew Koff, Angel Ol, Delucia, Ramon Parsons, Tegtmeier T. The T-antigen-binding domain of the simian virus 40 core origin of replication. Journal of Virology 1987; 2143-2149.
- 23- Jenny A, Korhonen, Xuan Hoi Pham, Pellegrini M, Falkenberg M. Reconstitution of a minimal mtDNA replisome in vitro. The EMBO Journal 2004; 23: 2423-2429.
- 24- Hames S B. D. Methods to map origins of replication in eukaryotes. Hames B.D. Eukaryotic DNA Replication. United States. Oxford University Press 1999: 33.

Archive of SID

Designing and Constructing a Plasmid with Mitochondrial Origin of Replication and Evaluating Its Replication in Human Cell Lines

Sepeideh Aminzadeh Gohari¹, Hossein Khanahmad², Morteza Karimipour³, Parichehr Yaghmaei⁴, Sakineh Karimi Zare⁵, and Fatemeh Jamshidi⁶

Abstract

Background and Aim: In order to achieve a safe vector with ability to replicate autonomously in human cells by human transfactors, a recombinant plasmid with human mitochondrial origins of replication was constructed. In contrast to lentiviral and adenoviral vectors, this plasmid does not integrate into the host genome and replicates stably.

Materials and Methods: Both human mitochondrial origins of replication and gfp fragments were amplified by PCR, cloned into pTZ57T/A. Hygromycin resistance gene was digested from pFBGGT. Then, four DNA fragments were subcloned into pBGGT plasmid. All steps of cloning were checked by PCR, restricted analysis and sequencing. HEK293 and CHO cell lines were transfected by final plasmid (pEU). Transfected cells were checked by Fluorescence Microscope daily during 40 days. pEU and genomic DNA were extracted from transfected HEK293 treated with hygromycin. Five overlap PCRs were performed on these products to check presence of circular plasmid in transfected HEK293.

Results: All steps of cloning were confirmed. Data showed that pEU did not replicate in transfected cells.

Conclusion: As recombinant plasmids with both mitochondrial origins of replication did not replicate in transfected cell lines, it seems that we need to provide similar conditions of mitochondrial DNA replication in order to replicate the above vector in future experiments.

Keywords: Gene therapy, non-viral vector, mitochondrial origin of replication

Ofogh-e-Danesh. GMUHS Journal. 2009; Vol. 15, No. 4

1- MSc. in Cell and Molecular Biology, Islamic Azad University, Science and Research Campus of Tehran

2- Corresponding Author: PhD, Pasteur Institute of Iran, Tehran, Iran.

Tel: +98- 913 12 1431 Fax: +98- 21-88718557 Email: hossein_khanahmad@yahoo.com

3- PhD in Biotechnology, Pasteur Institute of Iran, Tehran, Iran

4- PhD in Physiology, Islamic Azad University, Science and Research Campus of Tehran, Iran

5- MSc. in Gene Biology, Pasteur Institute of Iran, Tehran, Iran

6- MSc. in Biology (Animal Physiology), Pasteur Institute of Iran, Tehran, Iran